

## Взрывное деформирование и разрушение толстостенных цилиндров

А. В. Герасимов

НИИ прикладной математики и механики при Томском госуниверситете, Томск, Россия

*Рассматриваются особенности деформирования и разрушения толстостенных цилиндров при действии продуктов детонации. Отмечаются откольные эффекты в торцевой части цилиндра и регулярные вихревые структуры по его толщине после разлета продуктов детонации из заполненной взрывчатým веществом полости.*

**Ключевые слова:** взрыв, детонация, упругопластическое тело, пористость, разрушение, численный метод, толстостенный цилиндр.

**Введение.** Проблеме деформирования и разрушения толстостенных цилиндров при взрывном нагружении продуктами детонации взрывчатых веществ (ВВ) посвящен ряд экспериментальных [1, 2] и теоретических [3–6] исследований. При этом толщина рассматриваемых цилиндров была заметно меньше радиуса заряда ВВ, расположенного во внутренней полости этих цилиндров. В данной работе представлены результаты математического моделирования процессов расширения и повреждения толстостенных упругопластических цилиндров (толщина их в несколько раз превышает радиус полости, заполненной ВВ) без дна при действии скользящей детонации.

**Постановка задачи.** Рассматривался толстостенный упругопластический цилиндр без дна, заполненный зарядом ВВ. Упрощенная схема ударно-волнового процесса при взрывном нагружении цилиндра приведена на рис. 1. На торцах оболочка не замкнута. В начальный момент времени на левом торце инициируется плоская детонационная волна (ДВ), распространяющаяся по ВВ в сторону правого торца, и начинается истечение продуктов детонации (ПД) в вакуум. По достижении ДВ правого торца также начинается истечение продуктов взрыва. В оболочке формируется бегущая косая ударная волна (КУВ), инициируемая детонационной волной. В свою очередь, косая ударная волна, отражаясь от внешней поверхности, образует волну разгрузки  $BP_1$ . При выходе КУВ на правый торец цилиндра формируется вторая волна разгрузки  $BP_2$ . Взаимодействие этих двух волн приводит к возникновению в стенке цилиндра зоны растягивающих напряжений и, как следствие, роста повреждений и откольных эффектов.

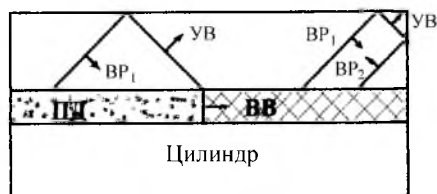


Рис. 1. Расчетная схема.

Для моделирования поведения поврежденного материала применяется модель пористого идеально упругопластического тела, разрушение которого описывается кинетическим уравнением [7] как процесс накопления и роста микроразрушений (микропор). Для учета продуктов детонации использовалась модель невязкого нетеплопроводного газа.

Система уравнений, описывающая движение пористой упругопластической среды и базирующаяся на законах сохранения массы, импульса и энергии, имеет следующий общий вид [6–8]:

$$\left\{ \begin{array}{l} \frac{1}{\rho} \frac{d\rho}{dt} + \frac{\partial v_i}{\partial x_i} = 0; \\ \rho \frac{dv_i}{dt} = \frac{\partial S_{ij}}{\partial x_j} - \frac{\partial P}{\partial x_i}; \\ \rho \frac{dE}{dt} = S_{ij} \varepsilon_{ij} + \frac{P}{\rho} \frac{d\rho}{dt}; \\ S_{ij} = \sigma_{ij} + P \delta_{ij}. \end{array} \right. \quad (1)$$

Физические соотношения брали в форме Прандтля–Рейса при условии текучести Мизеса:

$$\left\{ \begin{array}{l} 2\mu(e_{ij} - \frac{1}{3} e_{kk} \delta_{ij}) = \frac{DS_{ij}}{Dt} + \lambda S_{ij}; \\ S_{ij} S_{ij} = \frac{2}{3} \sigma^2; \\ \frac{DS_{ij}}{Dt} = \frac{dS_{ij}}{dt} - S_{ik} \omega_{jk} - S_{jk} \omega_{ik}; \\ 2\omega_{ij} = \frac{\partial v_i}{\partial x_j} - \frac{\partial v_j}{\partial x_i}; \\ 2e_{ij} = \frac{\partial v_i}{\partial x_j} + \frac{\partial v_j}{\partial x_i}, \end{array} \right. \quad (2)$$

где  $x_i$  – координаты;  $t$  – время;  $\rho$  – текущая плотность;  $v_i$  – компоненты вектора скорости;  $S_{ij}$  – компоненты девиатора напряжений;  $P$  – давление;  $E$  – удельная внутренняя энергия;  $\varepsilon_{ij}$  – компоненты девиатора тензора скоростей деформаций;  $e_{ij}$  – компоненты тензора скоростей деформаций;  $\sigma_{ij}$  – компоненты тензора напряжений;  $\frac{D}{Dt}$  – производная Яуманна;  $\mu$  – модуль сдвига;  $\sigma$  – предел текучести;  $\delta_{ij}$  – символ Кронекера. С целью компактности соотношения записаны для прямоугольной системы координат, переход к цилиндрической системе не представляет большого труда. Все физические величины в соотношениях (1), (2) относятся к пористой среде; они дополняются кинетическим уравнением, позволяющим описать рост и сжатие сферических пор [7]:

$$\frac{d\alpha}{dt} = -\frac{(\alpha_0 - 1)^{2/3}}{\eta} \alpha(\alpha - 1)^{1/3} \Delta P \operatorname{sign}(P);$$

$$\alpha = \frac{V + V_s}{V_s}; \quad \Delta P = |P| - \frac{a_s}{\alpha} \ln \frac{\alpha}{\alpha - 1},$$

где  $\alpha_0, a_s, \eta$  – константы материала;  $V_s$  – удельный объем сплошного компонента пористой среды;  $V$  – удельный объем пор.

Давление в пористой среде определяется по уравнению состояния для сплошного компонента:  $P = P_s(V_s, E)/\alpha$ . Уравнение состояния используется в виде [7]

$$P_s = \frac{K_s(1 - (\Gamma_0 \xi / 2))}{(1 - c\xi)^2} \xi + \rho_{0s} \Gamma_0 E.$$

В этих соотношениях индекс  $s$  относится к материалу матрицы;  $\Gamma_0$  – коэффициент Грюнайзена;  $c, K_s$  – константы материала;  $\xi = 1 - \rho_{0s}/\rho_s$ ;  $\rho_{0s}$  – начальная плотность. Прочностные характеристики пористого материала рассчитываются по следующим соотношениям [7]:

$$\sigma = \sigma_s / \alpha; \quad \mu = \mu_s (1 - \Phi) \left( 1 - \frac{6K_s + 12\mu_s}{9K_s + 8\mu_s} \Phi \right); \quad \Phi = (\alpha - 1) / \alpha.$$

По достижении пористостью  $\Phi$  значения  $\Phi_* = 0,3$  материал оболочки в данной ячейке полагался разрушенным.

Система уравнений газовой динамики для пространственного осесимметричного движения ПД в эйлеровых переменных имеет вид [8]

$$\begin{cases} \frac{\partial \rho r}{\partial t} + \frac{\partial \rho u r}{\partial z} + \frac{\partial \rho v r}{\partial r} = 0; \\ \frac{\partial \rho u r}{\partial t} + \frac{\partial (P + \rho u^2) r}{\partial z} + \frac{\partial \rho u v r}{\partial r} = 0; \\ \frac{\partial \rho v}{\partial t} + \frac{\partial \rho u v}{\partial z} + \frac{\partial (P + \rho v^2)}{\partial r} = -\frac{\rho v^2}{r}; \\ \frac{\partial e r}{\partial t} + \frac{\partial (e + P) u r}{\partial z} + \frac{\partial (e + P) v r}{\partial r} = 0; \\ P = P(\rho, E); \quad e = \rho(E + q^2 / 2); \\ q^2 = u^2 + v^2, \end{cases} \quad (3)$$

где  $e$  – полная энергия единицы объема газа;  $u, v$  – осевая и радиальная компоненты вектора скорости соответственно;  $\rho$  – плотность газа;  $E$  – удельная внутренняя энергия газа. В расчетах уравнение состояния для ПД использовалось в виде политропы Ландау–Станюковича [9].

Для системы уравнений, описывающей пространственное осесимметричное движение оболочки под действием ПД, ставились следующие начальные и граничные условия.

В качестве начальных данных для оболочки используется невозмущенное состояние материала:  $\rho = \rho_0$ ,  $\sigma_{ij} = 0$ ,  $v_i = 0$ ,  $E = 0$ . Для ПД в момент времени  $t = 0$  в узкой зоне задается автомодельное распределение параметров за фронтом ДВ, полученное для одномерной задачи об истечении ПД в вакуум с поверхности плоского заряда [10]. Для политропы Ландау–Станюковича  $P = A\rho^3$  такое распределение приведено в [9]. В случае, когда используется уравнение вида  $P = P(\rho, E)$ , начальное распределение параметров получалось численным решением одномерной задачи о детонации плоского слоя ВВ по методике, предложенной ранее [5].

Граничные условия следующие:  
на свободной поверхности

$$\sigma_n = \tau_n = 0,$$

на оси симметрии

$$v_n = 0, \quad \tau_n = 0,$$

в зоне контакта ПД с оболочкой

$$\sigma_n = -P, \quad \tau_n = 0, \quad U_n = v_n.$$

Здесь  $\sigma_n$ ,  $\tau_n$  – нормальная и касательная компоненты вектора напряжения;  $v_n$ ,  $U_n$  – нормальные к поверхности контакта компоненты вектора скорости частиц оболочки и частиц газа соответственно.

Для ПД на оси симметрии имеем  $v = 0$ . Пока ДВ не достигла правого торца, она является границей расчетной области для ПД, параметры которой равны параметрам в точке Чепмена–Жуге:  $\rho = \rho_j$ ,  $P = P_j$ ,  $v = 0$ ,  $u = u_j$ . На открытом левом торце в силу того, что здесь реализуется сверхзвуковой режим и звуковая линия по мере расширения оболочки перемещается внутрь нее [10], граничные условия не ставятся. После выхода ДВ на правый торец на нем аналогично левому торцу цилиндра граничные условия для ПД не ставятся.

**Метод решения. Тестовые расчеты.** Решение поставленных задач проводилось с применением варианта совместного эйлерово-лагранжева метода [4]. Для расчета оболочки использовался метод второго порядка аппроксимации типа “крест” [6], а для решения уравнений, описывающих движение ПД, – метод Маккормака [11]. Нефизические осцилляции за фронтом ударной волны в оболочке подавлялись с помощью комбинированной искусственной вязкости (квадратичная плюс линейная). Тензорная вязкость, стабилизирующая расчетную сетку от искажений типа “песочные часы” и реализуемая на треугольных ячейках, прилегающих к рассчитываемой точке, бралась аналогично подходу Вилкинса [12]. В случае газа (ПД) нефизические осцилляции подавлялись монотонизацией решения [13].

Для расчета течения ПД использовалось отображение физической области течения газа на прямоугольную расчетную область, т.е. реализовывался метод подвижных эйлеровых сеток. С целью оценки предложенного подхода проведено решение тестовой задачи об откольном разрушении толстостенной оболочки при ударе по ней тонкостенной оболочкой, разгоняемой продуктами детонации ВВ. Результаты численного моделирования сравнивались с экспериментальными [14], полученными для внешней оболочки толщиной 0,55 см и внутренним радиусом  $R_0 = 2,4$  см и медной тонкостенной оболочки толщиной 0,2 см и внешним радиусом  $R_2 = 1,0$  см. Поскольку сильное уменьшение толщины стенки оболочки при ее расширении (более чем в два раза) заметно увеличивает время расчета, для нее использовалась модель несжимаемой жидкой тонкой оболочки [9], т.е. учитывались только ее инерционные свойства. Скорость соударения была близка к скорости соударения, замеренной в [14]. Полученная экспериментально толщина откольного слоя, составляющая 0,165 см, сравнивалась с расчетной, равной 0,195 см, что для приближенного описания свойств внешней оболочки следует признать достаточно хорошим совпадением.

**Результаты расчетов.** Рассматривались толстостенные стальные цилиндры, аналогичные используемым в экспериментах [1]. Основные результаты численных экспериментов приведены на рис. 2–4. Объектом исследований служила оболочка длиной 34 см и внешним радиусом 10 см. Скорость детонации ВВ – 8470 м/с, плотность – 1,865 г/см<sup>3</sup>.

Внутренний радиус представленных на рис. 2 и 3, 4 оболочек составлял 2,5 и 1,25 см соответственно. Предполагалось, что оболочка незамкнута и после выхода детонационной волны на правый торец и разлета ПД в вакуум давление в полости равно нулю. На рис. 2, 3 приведены текущие конфигурации цилиндра и выделены ячейки с максимальным уровнем повреждения в стенке оболочки для фиксированного значения осевой лагранжевой координаты ячейки, иными словами, для ячеек с одним и тем же номером по оси вращения. На рис. 2,а момент времени составляет 100 мкс, на рис. 2,б, 3 – 150 мкс. Повреждения возникают внутри стенки оболочки, ближе к правому торцу, вследствие чего формируется конусообразная полоса максимальных повреждений. При достаточном уровне растягивающих напряжений здесь образуется откольная трещина и от оболочки отделяется конусообразный фрагмент. Это обусловлено характером взаимодействия бегущей по цилиндру косою ударной волны с боковой поверхностью и правым торцом цилиндра. Интерференция волн разгрузки от свободных границ и приводит к формированию конической откольной поверхности. Полученные в расчетах результаты качественно подтверждаются экспериментальными данными других авторов [15, 16]. В [15] представлены результаты экспериментов по подрыву небольших зарядов в канале толстостенного цилиндра, в [16] эксперименты проводились для полых цилиндров, полностью заполненных ВВ.

Для меньшего радиуса внутренней полости и соответственно количества ВВ результаты расчетов приведены на рис. 2,б и 3. Как видно, полоса и величина повреждений заметно уменьшаются (рис. 3). Снижение предела текучести с 0,64 (рис. 2,б) до 0,33 ГПа (рис. 3) проявляется в более выраженном характере конической полосы повреждений (рис. 3), хотя коли-



чительно уровень повреждения заметно меньше, чем в случае, приведенном на рис. 2,*а*. Уменьшение прочностных характеристик привело также к увеличению радиуса внутренней полости.

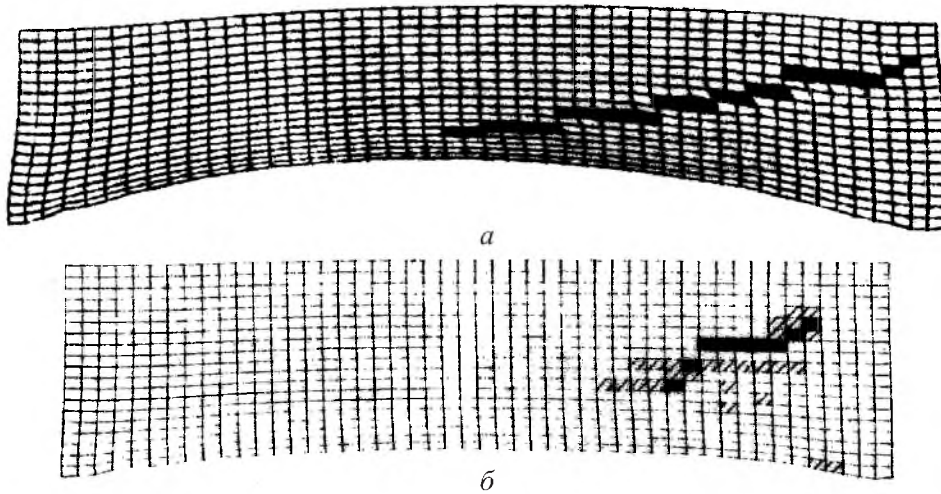


Рис. 2. Текущая конфигурация цилиндра и полоса максимальных уровней повреждения: *а, б* – внутренний радиус соответственно 2,5 и 1,25 см.

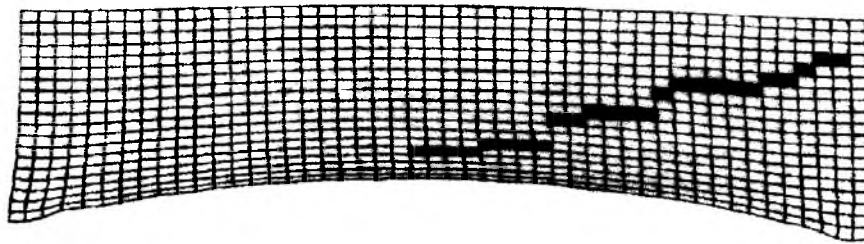


Рис. 3. Текущая конфигурация цилиндра и полоса максимальных уровней повреждения для предела текучести 0,33 ГПа.

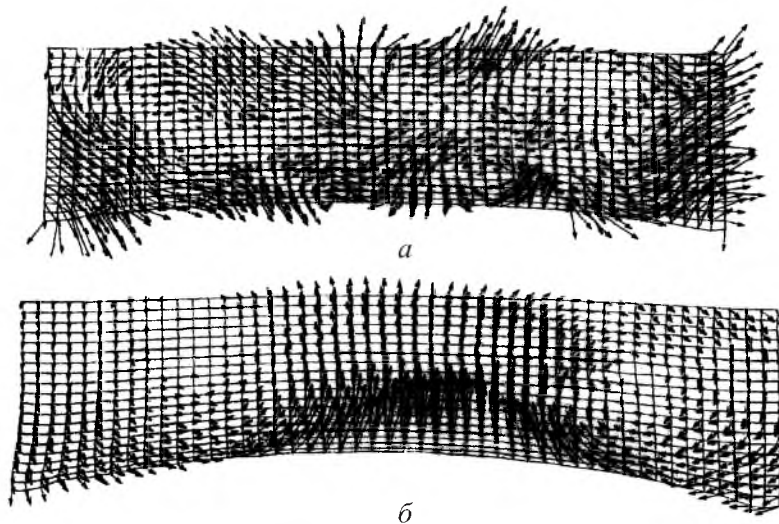


Рис. 4. Вихревое поле в стенках толстостенного цилиндра: *а, б* – предел текучести равен соответственно 0,66 и 0,33 ГПа.

Ранее [17, 18] отмечены интересные эффекты формирования вихревых структур в ударниках и преградах при упругих соударениях. В данной работе подобная картина наблюдалась при взрывном нагружении толстостенных упругопластических цилиндров. На рис. 4,а,б представлены поля скоростей для цилиндров, аналогичных приведенным на рис. 2,б и 3 соответственно.

Поле скоростей, сформировавшееся в стенке оболочки (рис. 4,а) в результате взаимодействия волн нагрузки и разгрузки, носит весьма сложный и нестационарный характер. Отчетливо видны вихревые структуры по всему объему цилиндра. Влияние предела текучести проиллюстрировано на рис. 4,б. Уменьшение прочностных характеристик в два раза привело к большей регулярности поля скоростей и к заметному смещению вихревых структур к торцам цилиндра.

**Заключение.** Приведенные результаты показывают, что картина деформирования и разрушения толстостенных цилиндров заметно отличается от поведения более тонкостенных оболочек. Это проявляется в формировании на торце, противоположном зоне инициирования ВВ, рассматриваемых цилиндров конусообразных откольных трещин, а также в образовании своеобразных вихревых структур при упругопластическом течении материала стенки оболочки. Эти явления обусловлены интенсивной разгрузкой системы ПД–цилиндр при “выдувании” продуктов детонации из относительно небольшой полости с зарядом ВВ и резким спадом давления в ней, геометрическими параметрами цилиндра и физико-механическими характеристиками его материала.

## Резюме

Розглядаються особливості деформування і руйнування товстостінних циліндрів під дією продуктів детонації. Відмічено ефекти відколу в торцевій частині циліндра і регулярні вихрові структури по його товщині після розльоту продуктів детонації із заповненої вибуховою речовиною порожнини.

1. Райнхарт Дж., Пирсон Дж. Поведение материалов при импульсных нагрузках. – М.: Изд-во иностр. лит., 1958. – 296 с.
2. Грязнов Е. Ф., Карманов Е. В., Селиванов В. В., Хахалин С. В. Морфология разрушения цилиндрических оболочек на волновой стадии // Пробл. прочности. – 1984. – № 8. – С. 89 – 92.
3. Костин В. В., Резцов А. С., Сугак С. Т., Фортон В. Е. Численное моделирование взрывного разрушения толстостенных цилиндров. – Минск, 1990. – 59 с. (Препр. /АН БССР. Ин-т тепло- и массообмена, № 25).
4. Герасимов А. В. Численное моделирование откольных разрушений в толстостенных оболочках при различных схемах взрывного нагружения // Прикл. механика и теорет. физика. – 1996. – 37, № 3. – С. 151 – 159.
5. Герасимов А. В. Взрывное разрушение замкнутых цилиндров // Пробл. прочности. – 1997. – № 4. – С. 44 – 51.

6. Уилкинс М. Л. Расчет упругопластических течений // Вычислительные методы в гидродинамике. – М.: Мир, 1967. – С. 212 – 263.
7. Johnson J. N. Dynamic fracture and spallation in ductile solids // J. Appl. Phys. – 1981. – **52**, No. 4. – P. 2812 – 2825.
8. Численное решение многомерных задач газовой динамики / Под ред. С. К. Годунова. – М.: Наука, 1976. – 400 с.
9. Баум Ф. А., Орленко Л. П., Станюкович К. П. и др. Физика взрыва. – М.: Наука, 1975. – 704 с.
10. Одинцов В. А., Селиванов В. В., Чудов Л. А. Расширение толстостенной цилиндрической оболочки под действием взрывной нагрузки // Изв. АН СССР. Механика твердого тела. – 1975. – № 5. – С. 161 – 168.
11. McCormack R. W. The effect of viscosity in hypervelocity impact cratering // AIAA Paper. 1969. – No. 69. – 354 p.
12. Wilkins M. L. Use of artificial viscosity in multidimensional fluid dynamic calculations // J. Comput. Phys. – 1980. – **36**, No. 3. – P. 281 – 303.
13. Лобановский Ю. И. О монотонизации конечно-разностных решений в методах сквозного счета // Журн. вычислит. математики и мат. физики. – 1979. – **19**, № 4. – С. 1063 – 1069.
14. Грязнов Е. Ф., Одинцов В. А., Селиванов В. В. Гладкие кольцевые отколы // Изв. АН СССР. Механика твердого тела. – 1976. – № 6. – С. 148 – 153.
15. Foltz J. V. and Grace F. I. Application of spall phenomena to gun explosion problem // J. Appl. Phys. – 1974. – **45**, No. 10. – P. 4649 – 4651.
16. Nash M. A. and Cullis I. G. Numerical modeling of fracture – a model for ductile fracture in triaxial states of stress // Paper presented at 3rd Conf. Mechanical Properties High Rates of Strain. – Oxford, 1984. – P. 307 – 314.
17. Андриященко В. А., Головешкин В. А., Холин Н. Н. Вихревые движения твердых тел в динамических задачах теории упругости // Инж.-физ. журн. – 1999. – **72**, № 4. – С. 802 – 809.
18. Горельский В. А., Зеленугин С. А. Вихревые структуры в керамике при высокоскоростном ударе // Письма в журн. техн. физики. – 1997. – **23**, № 24. – С. 86 – 90.

Поступила 25. 06. 2002